

## РАСЧЕТ СВЕРХЗВУКОВОГО ОБТЕКАНИЯ ЗАТУПЛЕННЫХ ТЕЛ ПОТОКОМ ВОЗДУХА С УЧЕТОМ РАВНОВЕСНЫХ ФИЗИКО-ХИМИЧЕСКИХ ПРЕВРАЩЕНИЙ

С. М. ГИЛИНСКИЙ, Н. Е. МАКАРОВА

(Москва)

Рассматривается обтекание с отошедшей ударной волной затупленных осесимметричных тел с гладким контуром потоком воздуха в предположении равновесности физико-химических превращений. Для расчета течения в дозвуковой и трансзвуковой области применяется метод Г. Ф. Теленина [1].

§ 1. Пусть на тело набегают поток невязкого нетеплопроводного газа с параметрами  $M_\infty$ ,  $p_\infty$ ,  $T_\infty$ . Адиабатическое течение в рассматриваемом случае описывается двумя уравнениями Эйлера, уравнением неразрывности и сохранения энтропии.

При расчетах использовалась аналитическая аппроксимация плотности и энтальпии как функции давления и температуры из [2], максимальная погрешность которой по  $\rho$  составляет  $\sim 1.5\%$ , по  $h \sim 3\%$ .

Целесообразно ввести дифференциальное соотношение, связывающее температуру и давление вдоль линии тока

$$\frac{dT}{dp} = \frac{\rho^{-1} - \partial h / \partial p}{\partial h / \partial T} \quad (1.1)$$

и исключить при помощи (1.1) энтропию.

Если в качестве основной системы искомых функций взять компоненты вектора скорости, давление и температуру и решать краевую задачу, интегрируя систему уравнений газовой динамики от ударной волны к телу, как делается в работе [3], то соответствующая аппроксимирующая система имеет на поверхности тела особенность вида  $0 : 0$ . Эта особенность в процессе численного решения вызывает определенные вычислительные трудности, поскольку при получении решения вблизи тела и на его поверхности необходима экстраполяция. Последнее приводит к необходимости запоминания определенного количества материала на нескольких предыдущих слоях разностной сетки, а также требует нестандартного счета в окрестности тела, что заметно усложняет программу расчета. Кроме того, при существенно затупленной головной части изменение параметров от ударной волны к телу в трансзвуковой области становится более резким, и использование экстраполяции может привести к заметным погрешностям.

Преобразуем систему уравнений газовой динамики в общепринятой форме к новым переменным, радиальной и трансверсальной составляющим вектора скорости  $u$ ,  $v$ , давлению  $p$  и функции тока  $\psi$ . При помощи этого преобразования исключается вышеуказанная особенность, и полученная система уравнений является обобщением (4.4—4.7) в [1] на случай реального газа.

Опуская для краткости промежуточные выкладки и не приводя описания численного метода решения (см. [1]), выпишем окончательную аппроксимирующую систему уравнений:

$$\frac{du_i}{d\xi} = \left[ \frac{e(r_T + \xi e)}{\Delta} \{ b(v + c(r_T + \xi e)^2) + (uv - b)u' + (v^2 - a^2)v' - a^2(2u + v \operatorname{ctg} \theta) \} \right]; \quad (1.2)$$

$$\begin{aligned} \frac{dv_i}{d\xi} &= \left[ \varepsilon \left\{ \frac{1}{r_T + \xi\varepsilon} \left( u' - \frac{r_T' + \xi\varepsilon'}{\varepsilon} \frac{du}{d\xi} \right) - \frac{v}{r_T + \xi\varepsilon} - c (r_T + \xi\varepsilon) \right\} \right]_i \\ \frac{dp_i}{d\xi} &= \left[ \varepsilon\rho \left\{ \frac{v^2}{r_T + \xi\varepsilon} - \frac{v}{r_T + \xi\varepsilon} \left( u' - \frac{r_T' + \xi\varepsilon'}{\varepsilon} \frac{du}{d\xi} \right) - \frac{u}{\varepsilon} \frac{du}{d\xi} \right\} \right]_i \\ \frac{d\psi_i}{d\xi} &= [\varepsilon\rho v \sin\theta (r_T + \xi\varepsilon)]_i \quad (i = 0, 1, 2, \dots, m) \\ \frac{dv_0^0}{d\xi} &= \varepsilon_0 \left[ \frac{2u_1^0 - v_0^0}{r_{T_0} + \xi\varepsilon_0} - \frac{r_{T_0}'' + \xi\varepsilon_0''}{\varepsilon_0 (r_{T_0} + \xi\varepsilon_0)} \frac{du_0}{d\xi} - (r_{T_0} + \xi\varepsilon_0) T_0 \left( \frac{dS}{d\psi} \right)_0 \rho_0 \right] \end{aligned}$$

Здесь

$$\begin{aligned} \xi &= \frac{r - r_T}{\varepsilon}, \quad \varepsilon = r_c - r_T, \quad \varepsilon' = -(r_T + \varepsilon) \operatorname{ctg}(\sigma + \theta) - r_T' \\ c &= T \frac{dS}{d\psi} \rho \sin\theta, \quad a^2 = \left( \rho_p + \rho_T \frac{dT}{dp} \right)^{-1} \quad b = \frac{r_T' + \xi\varepsilon'}{r_T + \xi\varepsilon} (v^2 - a^2) - uv \quad (1.3) \\ \Delta &= (r_T + \xi\varepsilon)^2 (a^2 - u^2) + 2uv (r_T' + \xi\varepsilon') (r_T + \xi\varepsilon) + (r_T' + \xi\varepsilon')^2 (a^2 - v^2) \end{aligned}$$

Индекс  $i$  указывает, что параметры берутся на луче  $\theta = \theta_i$ ,  $r, \theta$  — полярная система координат в меридиональной плоскости с полюсом в точке оси симметрии на некотором расстоянии  $l$  от центра тела,  $r_c = r_c(\theta)$  и  $r_T = r_T(\theta)$  — уравнение ударной волны и контура тела. Штрих означает дифференцирование по  $\theta$ ,  $a$  — скорость звука.

Производные по  $\theta$  от газодинамических функций определяются непосредственным дифференцированием интерполяционных полиномов

$$u = \sum_{j=0}^m u_j^0 \theta^{2j}, \quad v = \sum_{j=0}^m v_j^0 \theta^{2j+1}, \quad r_c = \sum_{j=0}^m r_j^0 \theta^{2j} \quad (1.4)$$

Температура при фиксированных значениях  $u, v, p$  определяется из уравнения Бернулли

$$\frac{1}{2} (u^2 + v^2) + h(p, T) = h_0 \quad (1.5)$$

где  $h_0$  — энтальпия торможения, а величина  $dS/d\psi$  при заданном  $\psi$  рассчитывается по соотношениям на ударной волне

$$\psi = \frac{1}{2} \rho_\infty V_\infty r_c^2 \sin^2 \theta, \quad \frac{dS}{d\psi} = \frac{V_\infty^2 \sin \sigma \cos \sigma (1 - \rho_\infty/\rho_c)^2 d\sigma/d\theta}{T_c (d\psi/d\theta)_c} \quad (1.6)$$

Индекс  $\infty$  относится к параметрам набегающего потока,  $c$  — непосредственно за ударной волной,  $\sigma$  — угол наклона ударной волны к оси симметрии.

Очевидно, для совершенного газа система (1.2) — (1.3) переходит в (4.4) — (4.7) из [1].

Следует отметить, что аппроксимирующая система во всей рассматриваемой области не имеет особенностей. Действительно,

$$\begin{aligned} \Delta &= r^2 \left[ a^2 - u^2 + \frac{2uv}{r} \left( \frac{dr}{d\theta} \right)_{\xi=\text{const}} + \frac{a^2 - v^2}{r^2} \left( \frac{dr}{d\theta} \right)^2 \xi = \text{const} \right] = \\ &= \frac{r^2}{\sin^2(\chi + \theta)} \left[ a^2 - \{u \sin(\chi + \theta) + v \cos(\chi + \theta)\}^2 \right] = \frac{r^2 (a^2 - V_n^2)}{\sin^2(\chi + \theta)} \quad (1.7) \end{aligned}$$

Здесь  $\chi$  — угол наклона линии  $\xi = \text{const}$  к оси симметрии,  $V_n$  — нормальная составляющая скорости к линии  $\xi = \text{const}$ . Из (1.7) следует, что условие  $\Delta > 0$  выполняется на контуре ( $V_n = 0$ ), на ударной волне и в дозвуковой области ( $V_n^2 < a^2$ ). Во внутренних точках трансзвуковой об-

ласти это условие также выполняется, поскольку величина  $\Delta$  может обратиться в нуль в точках, где линия  $\xi = \text{const}$  касается характеристики. В трансзвуковой области последнее не имеет места при обтекании тел с выпуклым контуром головной части.

Численный алгоритм, по которому проводится расчет, следующий.

1. Воздух перед ударной волной считается совершенным газом с  $\gamma = 1.405$ , так что по значениям  $M_\infty$ ,  $p_\infty$ ,  $T_\infty$  все остальные газодинамические параметры здесь вычисляются по формулам совершенного газа.

2. Производится расчет начальных данных за ударной волной в узлах  $\theta = \theta_i$ , для чего в каждом узле решается система двух трансцендентных уравнений относительно  $p_{ci}$ ,  $T_{ci}$  ( $i = 0, 1, 2, \dots, m$ )

$$\begin{aligned} p_{ci} &= p_\infty + V_{\infty i}^2 \rho_\infty (1 - \rho_\infty / \rho_c) \\ h_{ci} &= h_\infty + \frac{1}{2} V_{\infty i}^2 (1 - \rho_\infty^2 / \rho_c^2) \end{aligned} \quad (1.8)$$

и затем определяются  $u_{ci}$ ,  $v_{ci}$ , ... и т. д. Расчет  $h(p, T)$  и  $\rho(p, T)$  за ударной волной ведется по аналитическим формулам [2].

3. Зависимость  $T_c = T_c(\theta)$  и  $\rho_c = \rho_c(\theta)$  аппроксимируется интерполяционными полиномами по рассчитанным значениям  $T_{ci}$ ,  $\rho_{ci}$

$$T_c = \sum_{j=0}^m T_{c_j} \theta^{2j}, \quad \rho_c = \sum_{j=0}^m \rho_{c_j} \theta^{2j} \quad (1.9)$$

Аппроксимация (1.9) не является необходимой, поскольку зависимость температуры и плотности от  $\theta$  непосредственно за ударной волной можно определять из решения уравнения типа (1.8) для промежуточных значений  $\theta$ , однако (1.9) позволяет значительно экономить машинное время. Анализ показывает, что погрешность вследствие использования (1.9) мала.

4. Система обыкновенных дифференциальных уравнений (1.2) численно интегрируется методом Рунге-Кутты от начальных данных при  $\xi = 1$  с некоторым шагом  $\Delta \xi$ . Так как решается система относительно  $u$ ,  $v$ ,  $p$ ,  $\psi$ , то на последующем шаге интегрирования первоначально известны только эти функции.

Вычисление правых частей (1.2) в точке  $\xi_k = k |\Delta \xi|$  ведется в следующем порядке: а) из (1.5) находится итерациями  $T(\xi_k, \theta_i)$ ; б) из первого уравнения (1.6) итерациями определяется  $\theta = \theta_k$ , т. е. определяется точка на ударной волне, откуда приходит в рассчитываемую точку области линии тока, и при помощи второго уравнения (1.6) и (1.9) вычисляется  $dS(\xi_k, \theta_i) / d\psi$ ; в) при расчете величины  $a^2(p, T)$  производные  $\rho_p$ ,  $h_p$ , ... определяются численно по простейшей схеме.

Последующий алгоритм совпадает со случаем совершенного газа, и его повторять не будем.

§ 2. По описанной схеме была составлена программа для ЭЦВМ и проведены расчеты обтекания эллипсоидов вращения с отношением полуосей  $\delta = b/a = 1, 2, 3$  (фиг. 3) и тела, образующая передней части которого задается уравнением

$$|x|^n + |y|^n = 1 \quad (2.1)$$

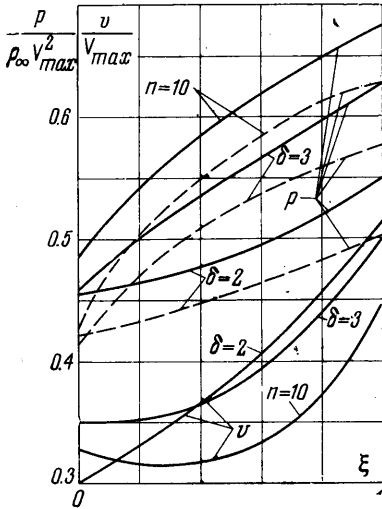
при  $n = 10$ .

Геометрия тел с контуром (2.1) рассмотрена в работе [4]. Заметим, что при  $n > 2$  — это тело типа торца со скруглением углов, при  $n = 10$  отношение радиуса скругления к диаметру  $r/D \approx 0.07$ . Параметры в набегающем потоке изменялись в диапазонах

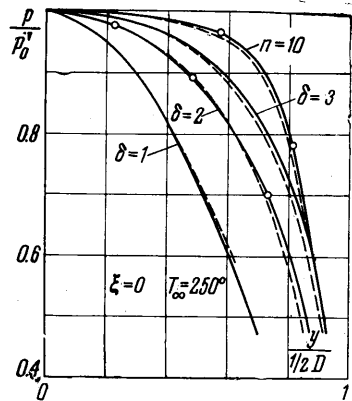
$$4 \leq M_\infty \leq 50, \quad 10^{-4} \text{ атм} \leq p_\infty \leq 1 \text{ атм}, \quad 200^\circ \text{ К} \leq T_\infty \leq 300^\circ \text{ К}$$

Во всех вариантах применялась девятиточечная аппроксимация производных по  $\theta$  ( $m = 4$ ) с узлами в нулях полинома Чебышева. Аппроксимация производных по  $\xi$  проводилась с шагом  $\Delta \xi = -0.1$ . Следует отметить, что объем памяти, занимаемый программой расчета обтекания равновесным воздухом, лишь незначительно превосходит объем памяти, соответствующий случаю совершенного газа, а необхо-

димо машинное время (при  $\Delta\xi = -0.1$ ) возрастает лишь в 1.5 раза. Программа составлена таким образом, что для проведения расчета обтекания равновесным потоком какого-либо другого газа (например углекислого) требуется замена одного независимого блока — подпрограммы вычисления  $\rho(p, T)$  и  $h(p, T)$ . Результаты расчетов содержатся в таблицах, где приводятся распределения газодинамических и термодинамических параметров от ударной волны до тела вдоль пяти лучей интегрирования и коэффициенты интерполяционных полиномов по известным из решения значениям функций в узлах, которые позволяют определять характеристики течения в любой промежуточной точке дозвуковой и трансзвуковой областей. При оценке точности численного решения используются те же соотношения, что и в случае совершенного газа, за исключением интеграла Бернулли, участвующего в расчетной схеме.



Фиг. 1



Фиг. 2

Для примера в табл. 1 проводится сравнение результатов для  $p$  и  $v$ , полученных при пятиточечной аппроксимации по  $\theta$  ( $m = 2$ ) и девятиточечной ( $m = 4$ ) для сферы (данные по пятиточечной аппроксимации взяты из [3]).

Таблица 1

( $\delta = 1, \theta = 0.625, l = 0, M_\infty = 10, p_\infty = 1 \text{ атм}, T_\infty = 250^\circ \text{ К}$ )

	$m$	$\zeta = 1.0$	$\zeta = 0.8$	$\zeta = 0.6$	$\zeta = 0.4$	$\zeta = 0.2$	$\zeta = 0$
$\frac{p}{\rho_\infty V_{\max}^2}$	2	0.628	0.616	0.601	0.587	0.572	0.557
	4	0.62914	0.61605	0.60166	0.58689	0.57212	0.55746
$\frac{v}{V_{\max}}$	2	0.493	0.453	0.414	0.378	0.344	0.312
	4	0.49279	0.45269	0.41445	0.37832	0.34442	0.31284

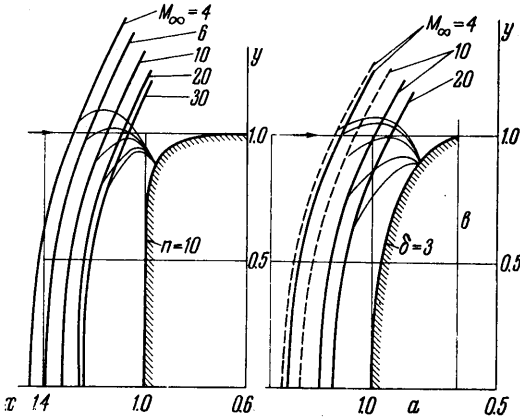
При этом для значений отхода ударной волны  $\epsilon$  сравнение дает:

$\theta = 0$	0.3125	0.625	
$\epsilon = 0.0981$	0.1052	0.1305	при $m = 2$
$\epsilon = 0.098058$	0.10525	0.13071	при $m = 4$

Из табл. 1 видно, что максимальное расхождение результатов различных приближений не превышает 0.3%. Оценка максимальной величины численных погрешностей показывает, что она значительно ниже погрешности аналитической аппроксимации [2].

На фиг. 1—5 приводятся некоторые результаты расчетов. Пунктирные линии, рассчитанные по схеме [4], соответствуют обтеканию потоком совершенного газа с  $\gamma = 1.4$ . Фиг. 1 иллюстрирует влияние формы тела на распределение трансзвуковой составляющей скорости и давления от ударной волны до тела в трансзвуковой области. Здесь построены зависимости этих величин от  $\xi$  вдоль лучей  $\theta = 1.29$  ( $l = 0$ ) для эллипсоида  $\delta = 2, \theta = 0.857$  ( $l = 2/3$ ) для  $\delta = 3, \theta = 0.751$  ( $l = 0$ ) для тела  $n = 10$  при фиксированных параметрах набегающего потока  $M_\infty = 10, p_\infty = 0.01$

атм,  $T_{\infty} = 250^{\circ}\text{K}$  (для совершенного газа число  $M_{\infty} = 10$ ). Распределение давления по поверхности тел в зависимости от ординаты  $y$  при тех же параметрах набегающего потока представлено на фиг. 2. Из графиков видно, что диссоциация, играющая в этом диапазоне параметров набегающего потока основную роль, относительно слабо влияет на давление  $\sim 5 - 10\%$ . Интересно отметить, что с увеличением затупленности тела меняется характер



Фиг. 3

распределения давления по телу. Для сферы вследствие диссоциации отношение  $p/p_0'$  в фиксированной точке уменьшается, а для  $\delta = 3$  и  $n = 10$  — увеличивается. Анализ результатов показывает, что отношение  $p/p_0'$  по поверхности тела слабо зависит от параметров набегающего потока. Это следует из табл. 2, где проводится сравнение отношения  $p/p_0'$  для сфер и эллипсоида в точках, соответствующих дозвуковой и трансзвуковой областям (данные для сферы взяты из [3]).

В окрестности линии торможения изменение давления и плотности во всей области от ударной волны к телу невелико и эффективный показатель адиабаты здесь мало отличается от постоянной величины.

Причем для сильно затупленных тел этим свойством обладает большая

часть дозвуковой области, поэтому здесь результаты расчета для воздуха хорошо совпадают с результатами для совершенного газа с показателем адиабаты, близким к

Таблица 2

$p_{\infty}$ , атм	0.01	$10^{-4}$	0.01			
$T_{\infty}$ , °K	250	250	300			
	$\theta_i$	$M_{\infty} = 4$	$M_{\infty} = 10$	$M_{\infty} = 50$	$M_{\infty} = 10$	$M_{\infty} = 10$
$\delta = 1$	0.3125	0.896	0.889	0.883	0.888	—
$l = 0$	0.625	0.642	0.620	0.593	0.618	—
	0.297	0.977	0.979	0.980	0.980	0.980
$\delta = 3$	0.559	0.894	0.901	0.903	0.903	0.901
$l = 2/3$	0.753	0.710	0.722	0.719	0.726	0.723
	0.857	0.488	0.505	0.490	0.510	0.505

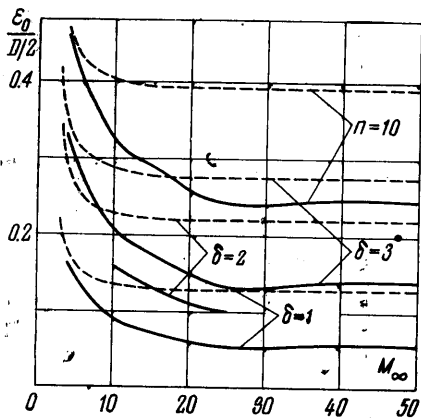
эффективному. На фиг. 2 точки 1, соответствующие  $M_{\infty} = 10$  и  $\gamma = 1.2$ , близки к кривой для воздуха. Фиг. 3 иллюстрирует влияние формы тела и числа  $M_{\infty}$  на геометрическую картину течения при  $p_{\infty} = 0.01$  атм и  $T_{\infty} = 250^{\circ}\text{K}$ . Из графиков видно, что диссоциация приводит к более интенсивному уплотнению в ударном слое, и положения ударных волн и звуковых линий отличаются от кривых для совершенного газа с  $\gamma = 1.4$  на  $\sim 20 - 30\%$ . На фиг. 4 построены кривые зависимости отхода ударной волны вдоль оси симметрии от числа  $M_{\infty}$  для различных тел. Немонотонный характер зависимости от  $M_{\infty}$  объясняется немонотонностью степени сжатия в прямом скачке  $\rho_{\infty}/\rho_c$  от  $M_{\infty}$ , а при гиперзвуковом обтекании тела заданной формы отход ударной волны однозначно связан с коэффициентом сжатия. Для сферы это показано в работе [3]. Из фиг. 5,

Таблица 3

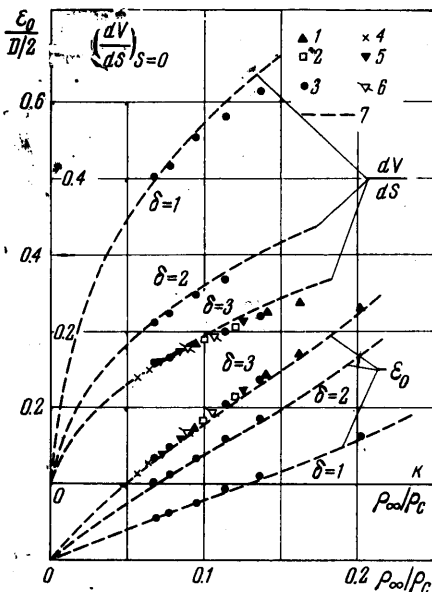
Точки	$M_{\infty}$	$p_{\infty}$ атм	$T_{\infty}$ , °K
1	4—25	1.0	250
2	10—25	0.1	250
3	4—50	0.01	250
4	10—25	0.0001	250
5	10—25	0.01	200
6	10—25	0.01	300
7	совер. газ $\gamma = 1.4$		

Из фиг. 5,

где построены зависимости  $\varepsilon_0$  от  $\rho_\infty/\rho_c$  для эллипсоидов  $\delta=1, 2, 3$ , следует, что это свойство сохраняется и для тел различной формы, причем кривые для воздуха располагаются вблизи кривой для совершенного газа. Обозначения, соответствующие различным условиям в набегающем потоке, указаны в табл. 3. Чтобы не усложнять чертежа, нанесена лишь часть рассчитанных вариантов. На той же фигуре построена зависимость градиента скорости  $dV/ds$  при  $s=0$  (в долях  $2V_{\max}/D$ , в критической точке от  $\rho_\infty/\rho_c$ . В случае совершенного газа определяющим параметром для градиента скорости служит не  $\rho_\infty/\rho_c$ , как для  $\varepsilon$ , а  $k = (\gamma - 1) / (\gamma + 1)$  и этот график строится по верхней шкале. Используя универсальность кривых для воздуха, можно с хорошей точностью определять указанные величины при произвольной в данном диапазоне комбинации параметров набегающего потока.



Фиг. 4



Фиг. 5

Исследования показывают, что подобие течений, установленное при обтекании тел различной формы совершенным газом, имеет место и при наличии диссоциации. Укажем, в частности, что распределение давления вдоль оси симметрии с точностью до 1% не зависит от формы тела при фиксированных условиях в набегающем потоке.

Авторы благодарят Г. Ф. Теленина за внимание и помощь, проявленные к данной работе.

Поступило 15.I 65.

#### ЛИТЕРАТУРА

1. Гилинский С. М., Теленин Г. Ф., Тиняков Г. П. Метод расчета сверхзвукового обтекания затупленных тел с отошедшей ударной волной. Изв. АН СССР. ОТН. Механика и машиностроение, 1964, № 4.
2. Крайко А. Н. Аналитическое представление термодинамических функций воздуха. Инж. ж., 1964, т. 4, № 3.
3. Теленин Г. Ф., Тиняков Г. П. Исследование сверхзвукового обтекания сферы воздухом и углекислым газом при термохимическом равновесии. Докл. АН СССР, 1964, № 1, стр. 159.
4. Гилинский С. М., Теленин Г. Ф. Сверхзвуковое обтекание тел различной формы с отошедшей ударной волной. Изв. АН СССР. ОТН. Механика и машиностроение, 1964, № 5.